

# Procjene maksimalnih godišnjih kratkotrajnih količina oborine na postaji Virovitica

Geografska širina ( $\varphi$ ): 45.81694° (569788.34E)

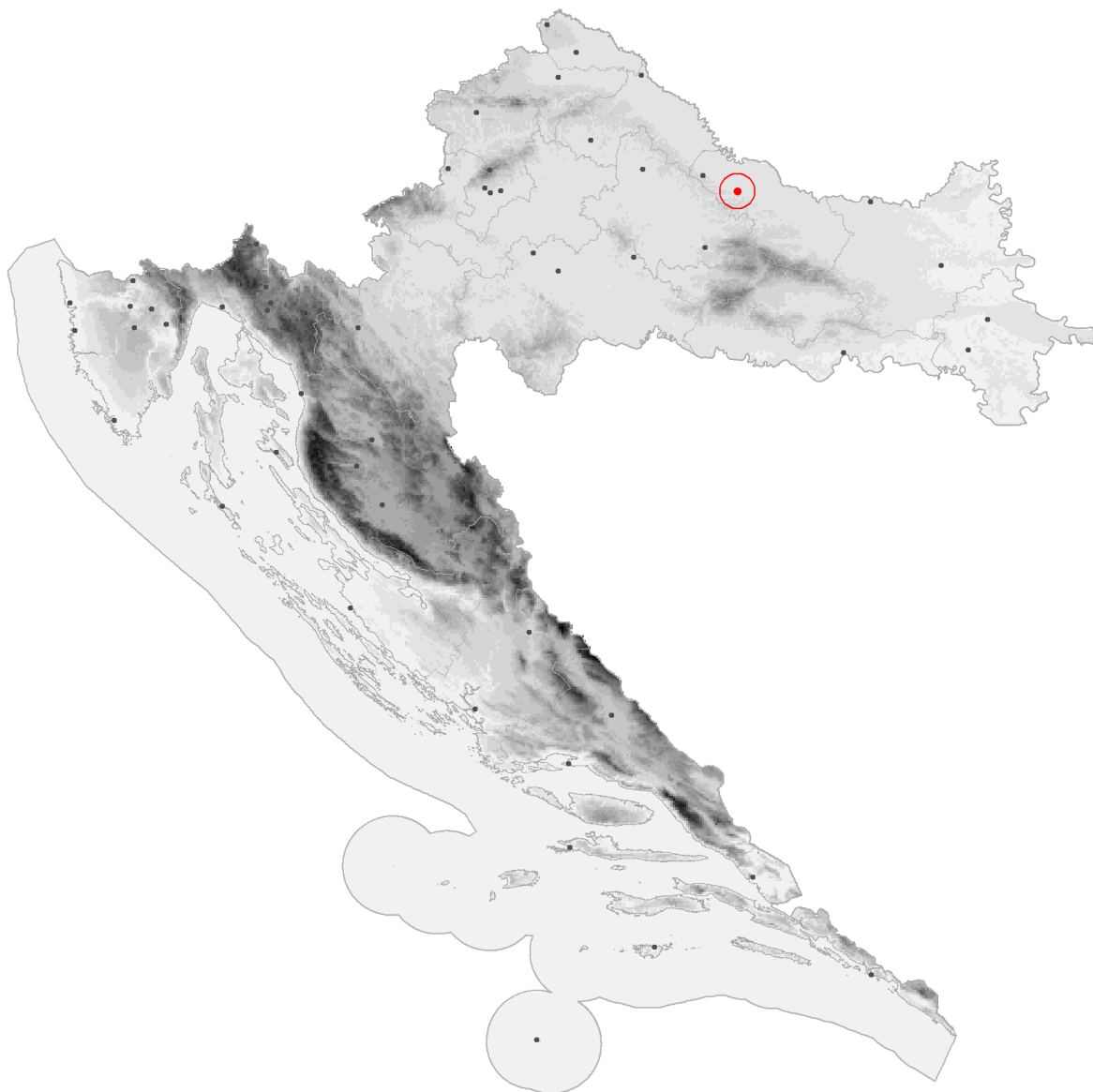
Geografska dužina ( $\lambda$ ): 17.39806° (5075624.04N)

Nadmorska visina (h): 123 m

Razdoblje: 1961. – 2020.

Analizirani broj godina: 49 (81.7 %)

Nedostajuće godine: 11 (18.3 %) 1996, 1997, 1998, 1999, 2000, 2001, 2002, 2003, 2004, 2005, 2006



Najbliži ombrograf: Bilogora, 17 km

## Tablica 1.

Osnovni statistički parametri oborine za različita trajanja: Rsred – srednjak [mm], StDev – standardna devijacija [mm], CV – koeficijent varijacije oborine, Rmaks – najveća registrirana količina oborine [mm] i pripadni datum i vrijeme, Tmaks – pripadno povratno razdoblje za Rmaks [god]. VIROVITICA, razdoblje 1961. – 2020.

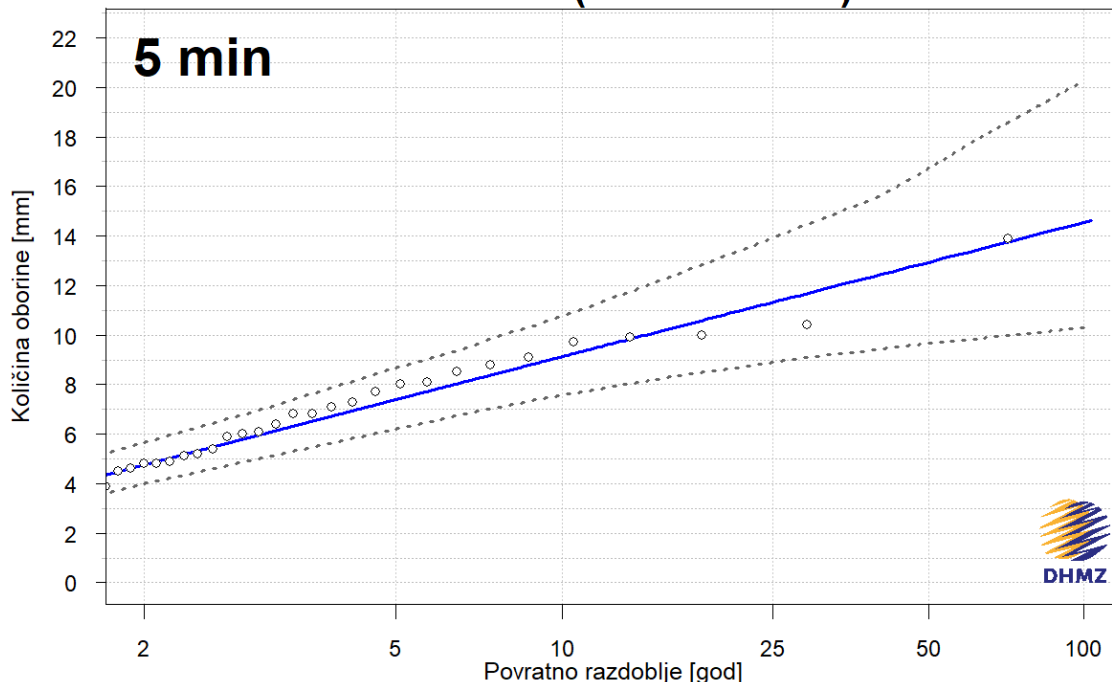
Trajanje	Rsred	StDev	CV	Rmaks	Datum/Vrijeme	Tmaks
5 min	5.2	2.9	0.56	13.9	2008-08-08 16:15:00	76
10 min	8.2	3.4	0.41	18.3	2008-08-08 16:15:00	1,573
20 min	11.8	4.7	0.40	29.6	2008-08-08 16:15:00	418
30 min	14.6	6.1	0.42	37.3	2008-08-08 16:20:00	259
40 min	17.1	7.4	0.43	44.1	2008-08-08 16:30:00	271
50 min	18.8	8.1	0.43	45.6	1970-08-09 09:20:00	144
60 min	20.2	8.4	0.42	47.7	1970-08-09 09:20:00	133
2 h	25.7	10.4	0.40	59.9	1970-08-09 09:50:00	88
3 h	29.2	11.6	0.40	68.1	1970-08-10 15:45:00	86
4 h	32.0	13.0	0.41	71.1	1970-08-10 16:40:00	57
6 h	35.3	13.9	0.39	73.9	1967-05-19 03:30:00	43
8 h	37.4	14.6	0.39	83.3	1970-08-10 20:35:00	60
12 h	40.9	15.5	0.38	94.8	1970-08-11 00:45:00	97
24 h	48.5	20.9	0.43	119.8	1970-08-11 11:35:00	74

**Tablica 2.**

Procjene maksimalnih godišnjih količina oborine RT [mm] za različita trajanja i odgovarajuće donje (IPd) i gornje granice (IPg) 95%-tnih intervala pouzdanosti za različita povratna razdoblja T (2, 5, 10, 25, 50 i 100 godina). **VIROVITICA, razdoblje 1961. – 2020.**

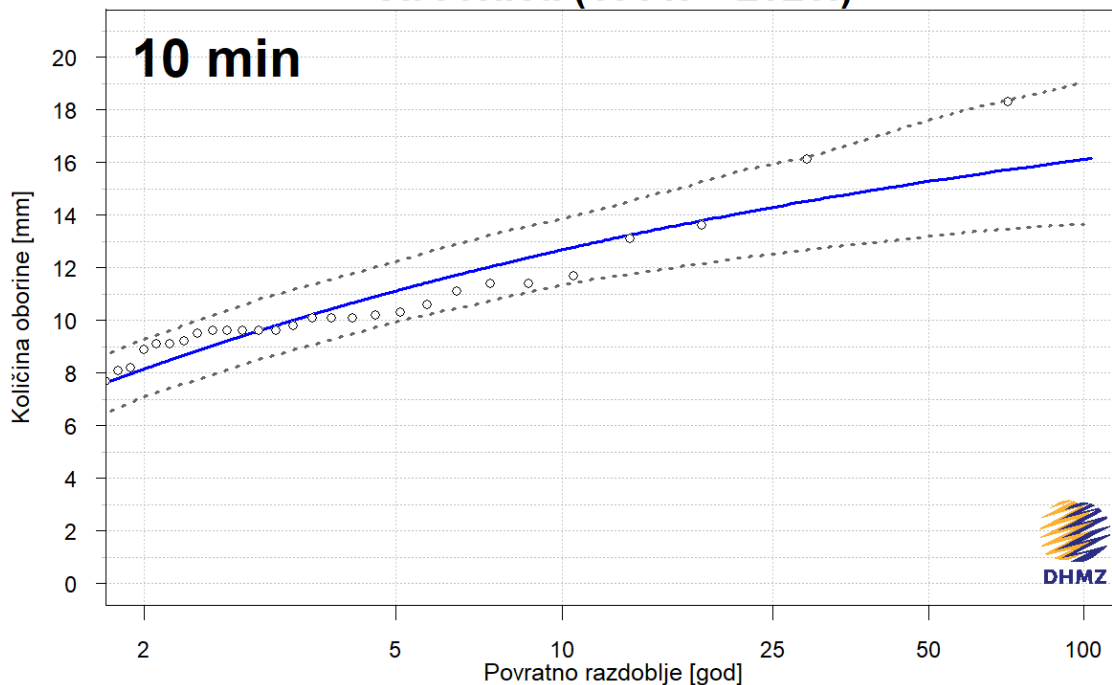
Trajanje	T2			T5			T10			T25			T50			T100		
	IPd	RT	IPg	IPd	RT	IPg	IPd	RT	IPg	IPd	RT	IPg	IPd	RT	IPg	IPd	RT	IPg
5 min	4.0	4.8	5.6	6.2	7.4	8.7	7.6	9.1	10.7	8.9	11.3	13.9	9.7	12.9	16.7	10.3	14.5	20.3
10 min	7.1	8.1	9.3	9.9	11.1	12.2	11.4	12.7	13.9	12.5	14.3	15.9	13.2	15.3	17.6	13.7	16.1	19.1
20 min	9.9	11.2	12.5	13.5	15.2	16.9	15.6	17.8	19.9	17.7	21.0	24.3	19.0	23.2	28.0	20.0	25.4	31.8
30 min	12.0	13.7	15.4	16.4	19.0	21.4	18.9	22.5	25.7	21.7	26.9	31.9	23.4	30.0	37.7	25.1	33.1	43.5
40 min	14.1	16.0	18.2	19.6	22.3	25.4	23.1	26.4	30.7	26.3	31.6	38.4	28.0	35.3	44.7	29.3	38.9	51.1
50 min	15.4	17.5	19.9	21.2	24.4	28.2	24.7	29.0	33.7	28.4	34.8	41.6	30.5	39.1	48.7	32.1	43.4	57.9
60 min	16.4	18.9	21.2	22.7	26.2	29.2	26.2	30.9	35.1	30.1	37.0	44.1	32.6	41.5	51.5	34.4	45.9	59.6
2 h	21.1	23.7	26.8	28.9	32.9	37.6	33.4	39.3	46.1	38.8	47.8	58.9	42.1	54.4	69.5	44.9	61.2	82.1
3 h	24.0	26.9	30.2	32.7	37.3	42.7	38.1	44.6	52.8	43.6	54.3	67.3	47.2	62.0	81.6	50.5	69.9	100.7
4 h	26.1	29.2	32.8	35.9	41.0	46.8	42.6	49.3	57.6	49.2	60.5	76.3	53.5	69.4	93.0	57.3	78.6	113.8
6 h	28.5	32.1	36.1	38.4	44.5	50.5	45.1	53.5	62.3	52.3	66.0	82.6	57.1	76.1	101.5	61.6	86.9	123.2
8 h	30.3	34.1	37.9	40.8	46.9	53.0	47.3	56.4	65.9	54.7	69.6	87.1	59.5	80.3	108.0	64.4	91.9	133.6
12 h	34.0	37.6	41.6	45.2	51.2	58.2	51.3	60.9	71.2	58.5	74.0	91.0	63.2	84.4	110.6	67.4	95.3	134.2
24 h	38.9	43.6	49.4	53.4	61.6	71.2	62.8	75.1	89.6	73.8	94.2	121.7	81.7	110.1	155.9	88.4	127.4	196.1

## Virovitica (1961. – 2020.)

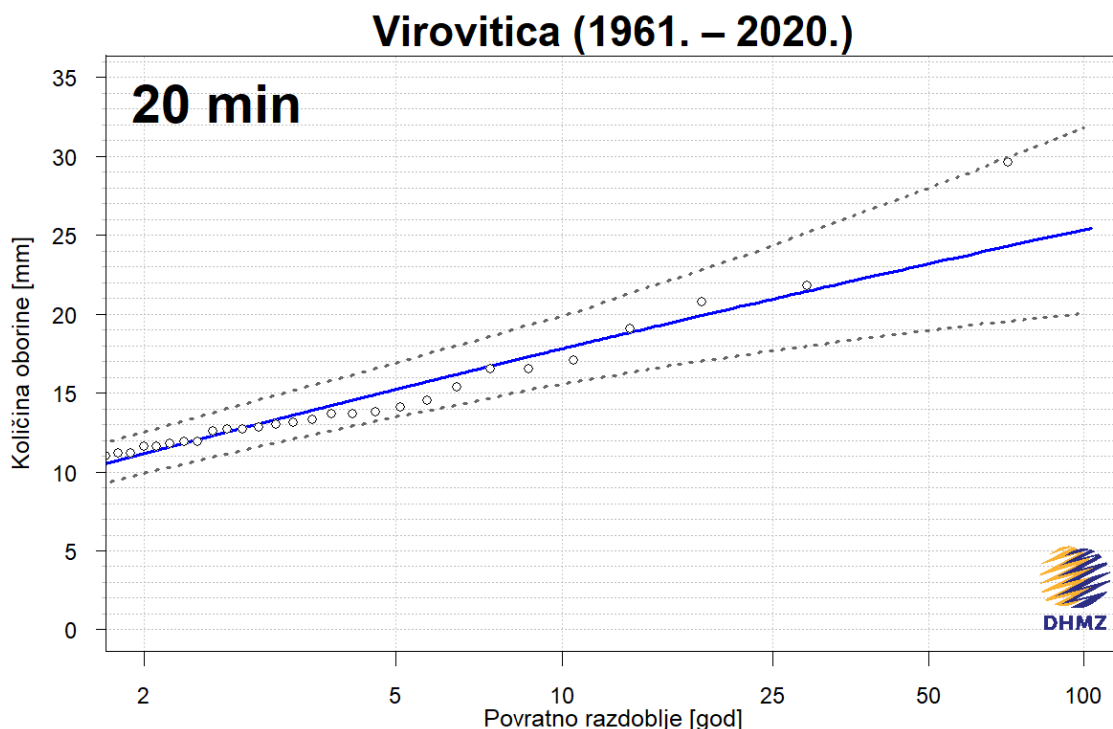


Slika 1. Procjene maksimalnih godišnjih količina oborine za različita povratna razdoblja (plava krivulja) i odgovarajući donji i gornji 95%-tni intervali pouzdanosti (crtkane krivulje) za trajanje **5 minuta**, izračunate pomoću razdiobe GEV

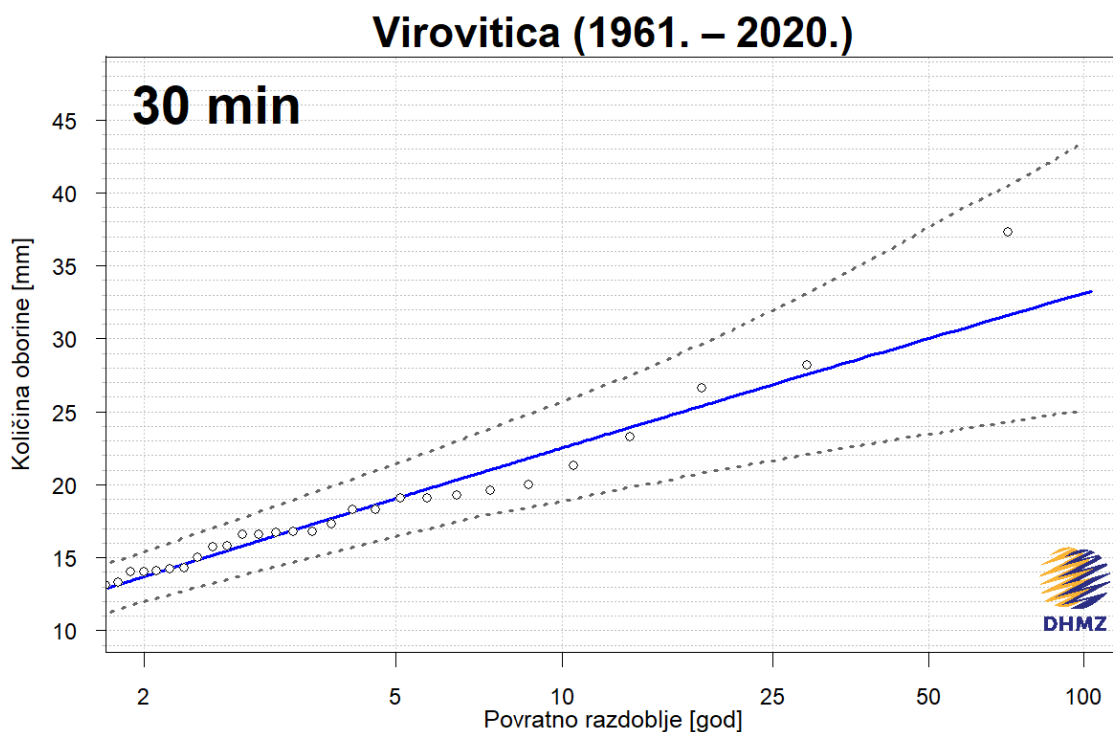
## Virovitica (1961. – 2020.)



Slika 2. Procjene maksimalnih količina oborine za različita povratna razdoblja (plava krivulja) i odgovarajući donji i gornji 95%-tni intervali pouzdanosti (crtkane krivulje) za trajanje **10 minuta**, izračunate pomoću razdiobe GEV

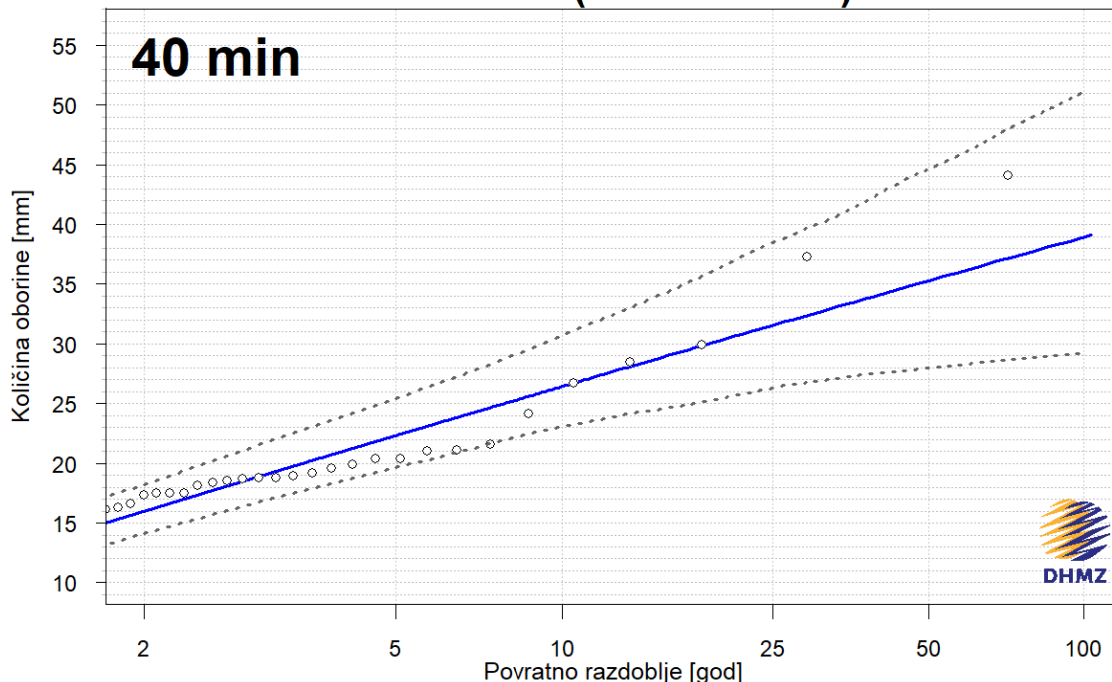


Slika 3. Procjene maksimalnih godišnjih količina oborine za različita povratna razdoblja (plava krivulja) i odgovarajući donji i gornji 95%-tni intervali pouzdanosti (crtkane krivulje) za trajanje **20 minuta**, izračunate pomoću razdiobe GEV



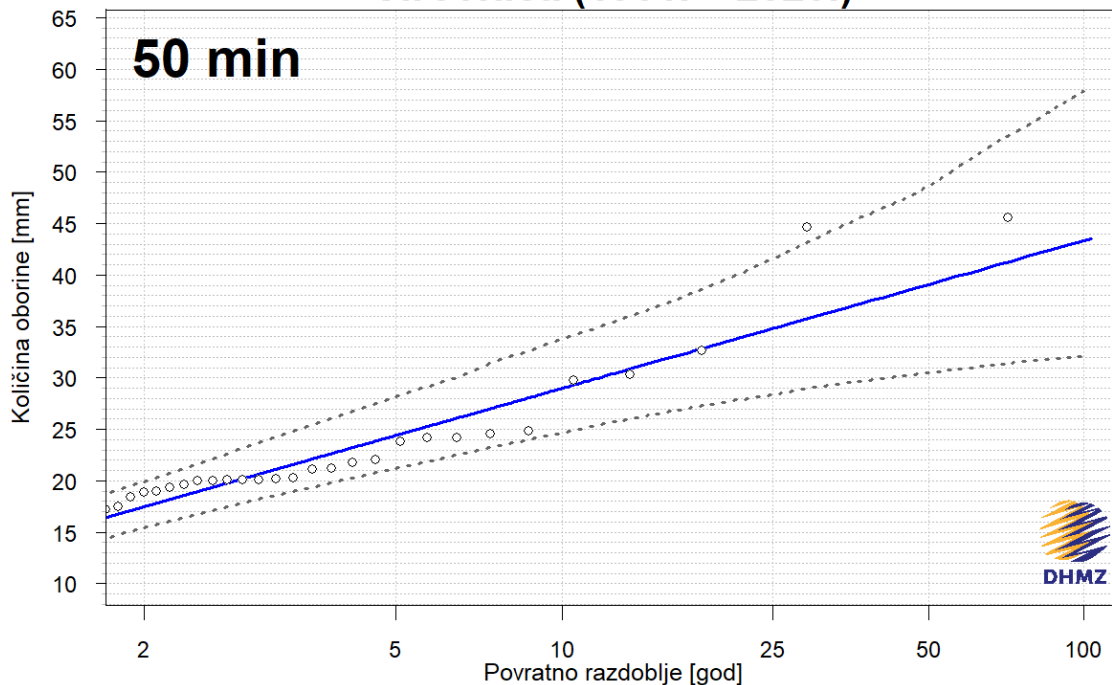
Slika 4. Procjene maksimalnih godišnjih količina oborine za različita povratna razdoblja (plava krivulja) i odgovarajući donji i gornji 95%-tni intervali pouzdanosti (crtkane krivulje) za trajanje **30 minuta**, izračunate pomoću razdiobe GEV

## Virovitica (1961. – 2020.)



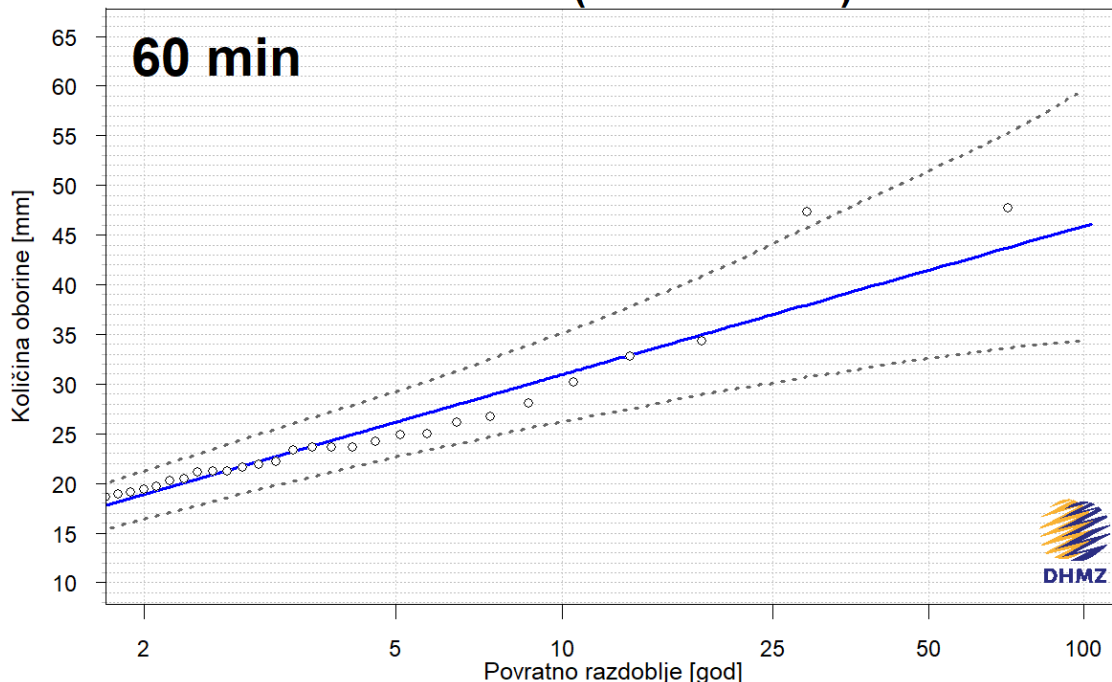
Slika 5. Procjene maksimalnih godišnjih količina oborine za različita povratna razdoblja (plava krivulja) i odgovarajući donji i gornji 95%-tni intervali pouzdanosti (crtkane krivulje) za trajanje **40 minuta**, izračunate pomoću razdiobe GEV

## Virovitica (1961. – 2020.)



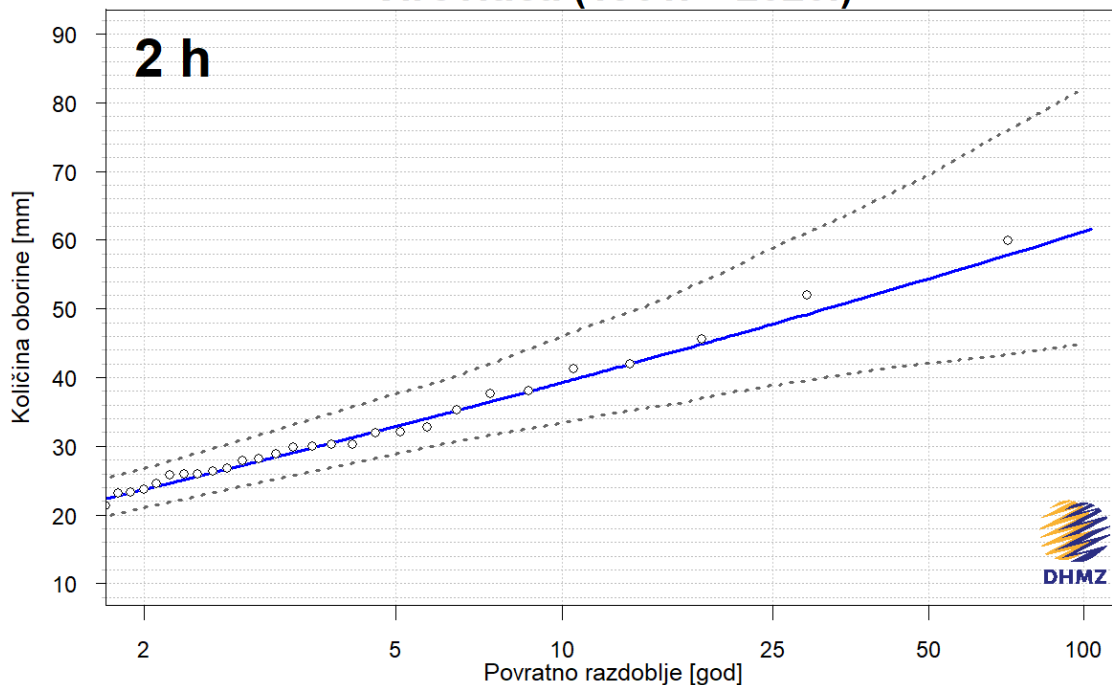
Slika 6. Procjene maksimalnih godišnjih količina oborine za različita povratna razdoblja (plava krivulja) i odgovarajući donji i gornji 95%-tni intervali pouzdanosti (crtkane krivulje) za trajanje **50 minuta**, izračunate pomoću razdiobe GEV

## Virovitica (1961. – 2020.)



Slika 7. Procjene maksimalnih godišnjih količina oborine za različita povratna razdoblja (plava krivulja) i odgovarajući donji i gornji 95%-tni intervali pouzdanosti (crtkane krivulje) za trajanje **60 minuta**, izračunate pomoću razdiobe GEV

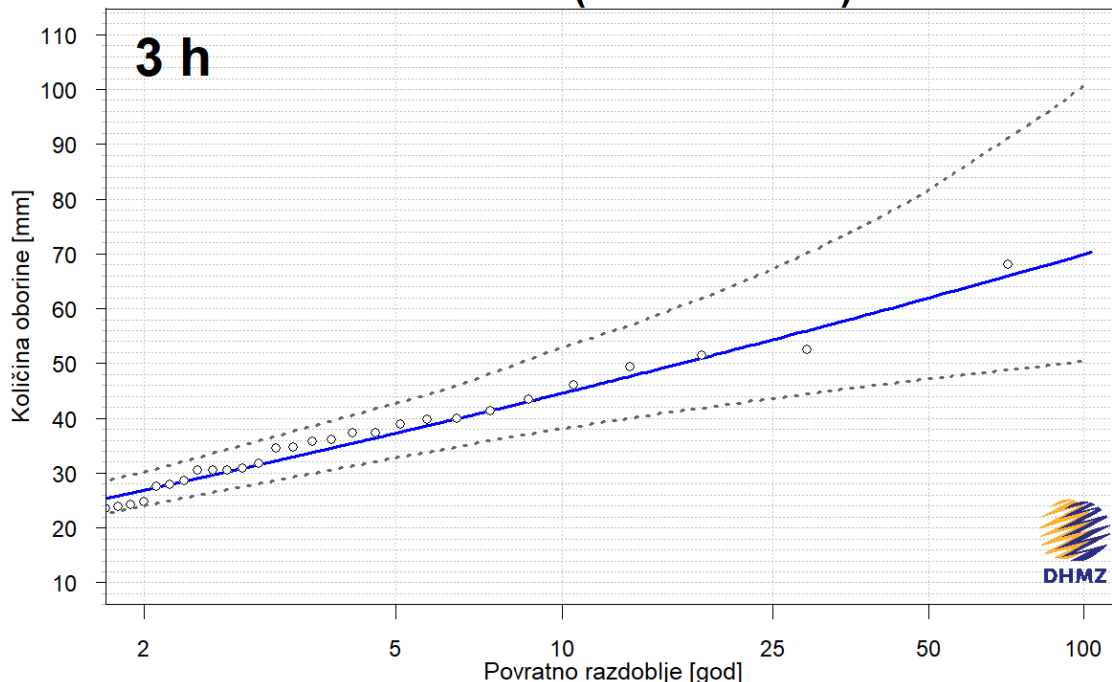
## Virovitica (1961. – 2020.)



Slika 8. Procjene maksimalnih godišnjih količina oborine za različita povratna razdoblja (plava krivulja) i odgovarajući donji i gornji 95%-tni intervali pouzdanosti (crtkane krivulje) za trajanje **2 h**, izračunate pomoću razdiobe GEV

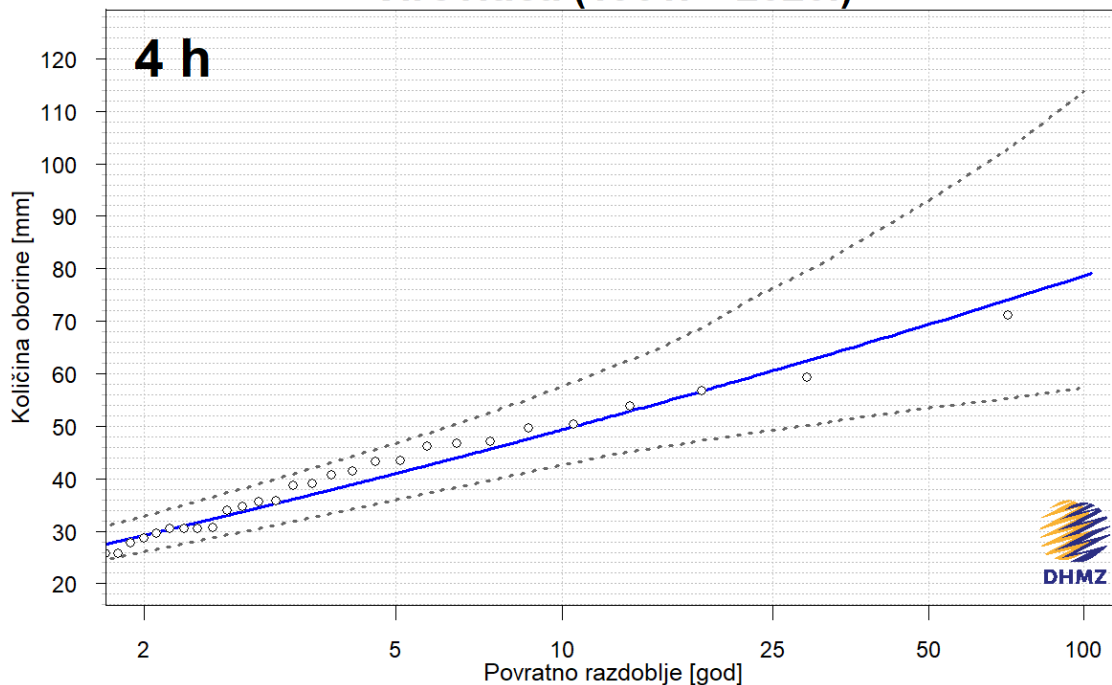


## Virovitica (1961. – 2020.)

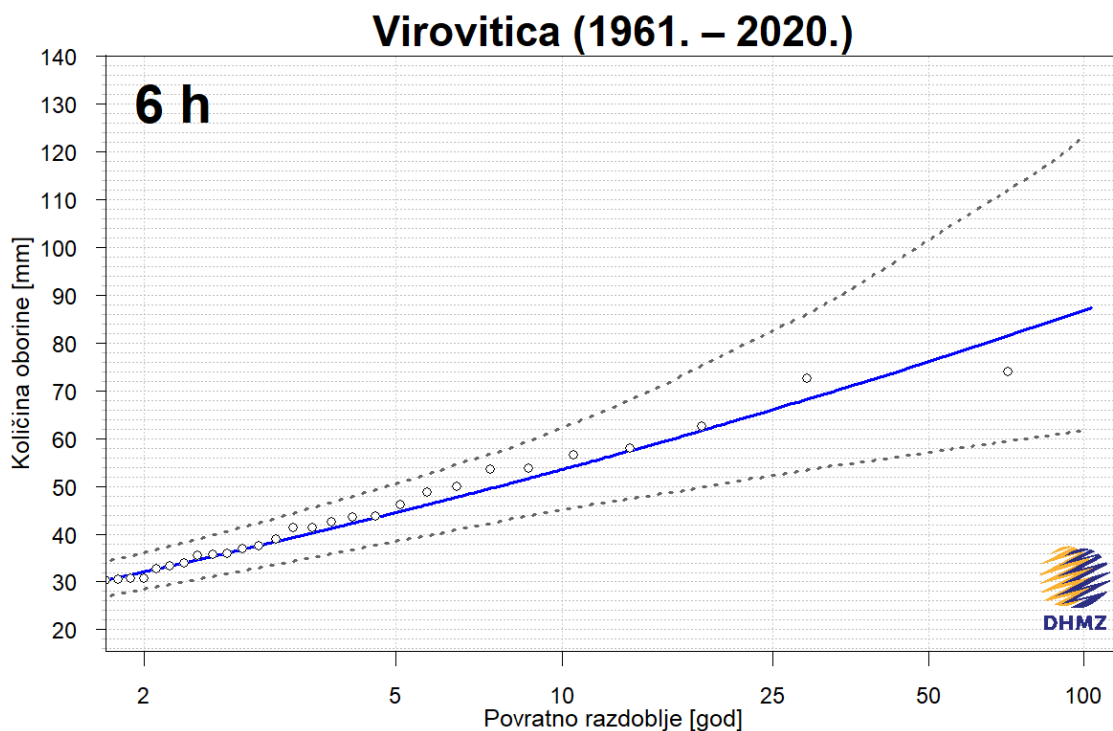


Slika 9. Procjene maksimalnih godišnjih količina oborine za različita povratna razdoblja (plava krivulja) i odgovarajući donji i gornji 95%-tni intervali pouzdanosti (crtkane krivulje) za trajanje **3 h**, izračunate pomoću razdiobe GEV

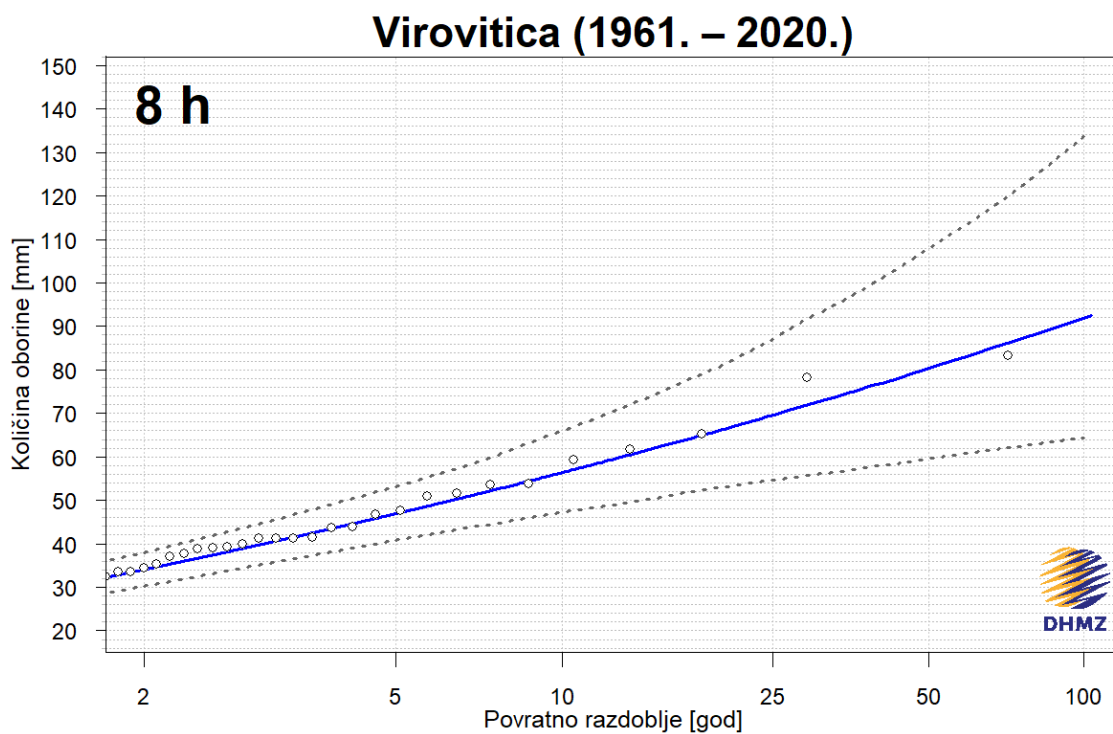
## Virovitica (1961. – 2020.)



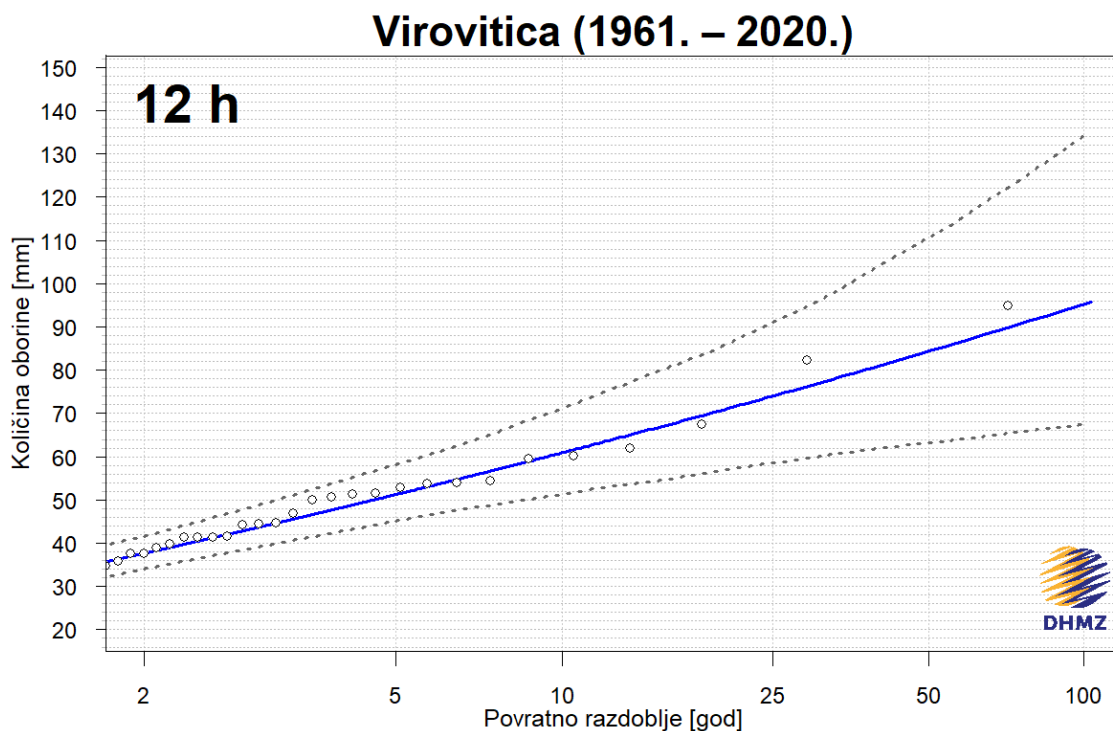
Slika 10. Procjene maksimalnih godišnjih količina oborine za različita povratna razdoblja (plava krivulja) i odgovarajući donji i gornji 95%-tni intervali pouzdanosti (crtkane krivulje) za trajanje **4 h**, izračunate pomoću razdiobe GEV



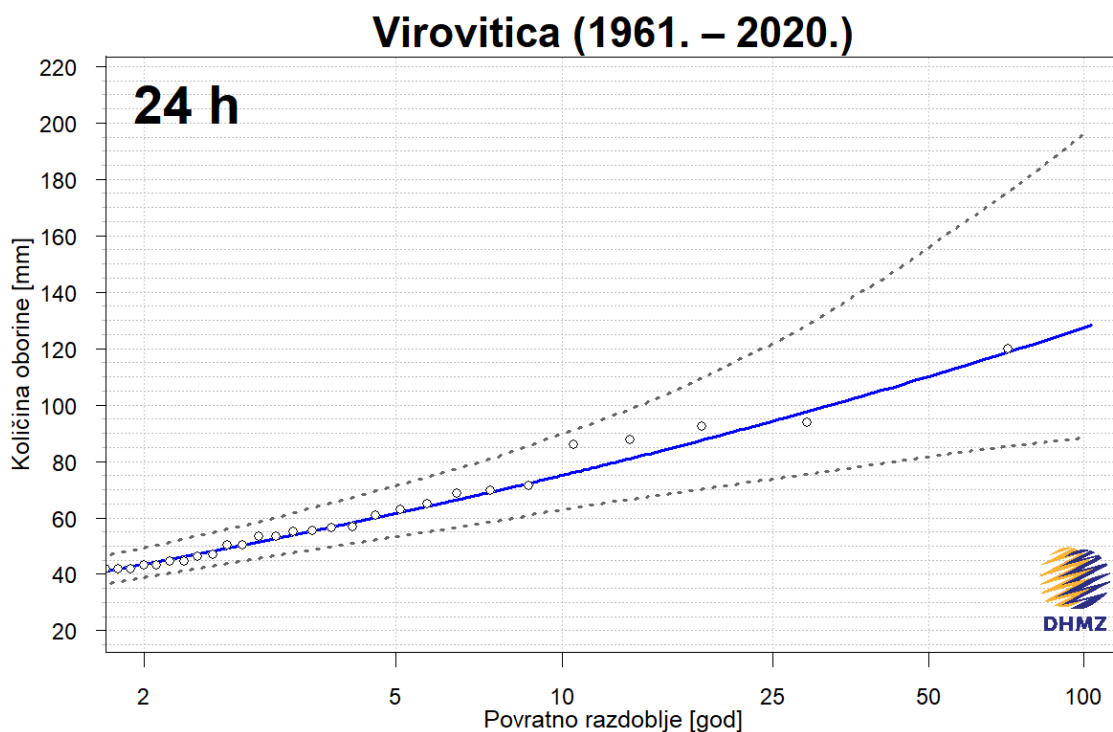
Slika 11. Procjene maksimalnih godišnjih količina oborine za različita povratna razdoblja (plava krivulja) i odgovarajući donji i gornji 95%-tni intervali pouzdanosti (crtkane krivulje) za trajanje **6 h**, izračunate pomoću razdiobe GEV



Slika 12. Procjene maksimalnih godišnjih količina oborine za različita povratna razdoblja (plava krivulja) i odgovarajući donji i gornji 95%-tni intervali pouzdanosti (crtkane krivulje) za trajanje **8 h**, izračunate pomoću razdiobe GEV



Slika 13. Procjene maksimalnih godišnjih količina oborine za različita povratna razdoblja (plava krivulja) i odgovarajući donji i gornji 95%-tni intervali pouzdanosti (crtkane krivulje) za trajanje **12 h**, izračunate pomoću razdiobe GEV



Slika 14. Procjene maksimalnih godišnjih količina oborine za različita povratna razdoblja (plava krivulja) i odgovarajući donji i gornji 95%-tni intervali pouzdanosti (crtkane krivulje) za trajanje **24 h**, izračunate pomoću razdiobe GEV